

A.C. 瓦西里也夫、A.E. 斯魯霍茨基著

高頻離子和電子 反用換流器



國防工業出版社

73.691
162.1
C.2

高頻离子和电子反用換流器

A.C.瓦西里也夫 著

A.E.斯魯霍茨基

傅炳烈、李广友譯

ZK53.0 / 15



中国科学院出版社

1964

内 容 簡 介

本书介绍目前在工业上已获得广泛应用的两种反用换流器：
离子反用换流器和电子反用换流器。

离子反用换流器主要用在电热设备中，它可用作感应加热，
表面淬火等装置的电源；电子反用换流器可对频率超过 10000 赫
的超声波设备供电之用。这些反用换流器的效率可到 85~92%。远
远超过电动发电机和电子管振荡器的效率，所以它们在工业上的
应用是有很大的前途的。

书中说明了反用换流器的作用原理，分析了反用换流器在稳
定状态和过渡状态下的工作情况，并导出工程上适用的计算公式，
又列出许多线路、图线和图表，列举出工业上应用的几种反用换
流器的技术特性和结构数据；同时还叙述了调谐反用换流器的一
些方法，以供设计和运用时的参考。

本书可供科学工作者、工程技术人员和高等院校中相应专业的
师生参考之用。

ИОННЫЕ И ЭЛЕКТРОННЫЕ
ИНВЕРТОРЫ ВЫСОКОЙ ЧАСТОТЫ

А. С. Васильев, А. Е. Слухоцкий
ГОСЭНЕРГОИЗДАТ 1961

*
高頻离子和电子反用换流器

傅炳烈，李广友译

*
国防工业出版社出版

北京市书刊出版业营业登记证字第 074 号

国防工业出版社印刷厂印刷 新华书店北京发行所发行

850×1168.1/32 印数 413/16 1210 千字

1964年4月第一版 1964年4月第一次印刷 印数：0,001—3,700册

统一书号：15034·718 定价：(科八-1)1.00 元

引　　言

目前，金属的感应加热及零件的超声波加工，已经在工业中获得了广泛的应用。因此，制造效率很高而使用上又相当简便的设备，就成了急待解决的问题。

在感应加热设备中，当频率为500~10000赫时，可使用电动发电机，当频率为70000赫和更高时，可使用电子管振荡器。

在上述的频率范围内，电动发电机的效率为70~82%，而无载运转时的固定损耗电平为额定功率的10~12%。因此，在反复间歇工作状态及负载参数随时间改变（这多半是在感应加热设备中）的情况下，效率有时降低1/3到1/2。电动发电机的主要缺点是：频率不能改变，必须装在专用底座上，同时，还会产生噪声。

计及灯丝电路的功率在内，电子管振荡器的效率不超过60%。

加工零件的超声波设备，多半在频率为10000~30000赫的范围内工作。在这些设备中，现在几乎完全采用电子管振荡器作为电源。

反用换流器线路，特别是并联反用换流器线路，在提高效率方面是有发展前途的。离子反用换流器的效率达到85~92%，由于固定损耗电平很低（约为3~4%），所以效率与负载的关系很小。

当功率约为几百千瓦时，500赫以上的频率在电热方面有最大的意义。只有在整流管中充以水银，它才能在连续工作状态下获得这样大的功率，这便决定了这种装置的频率上限约为2000~3000赫。今后，采用充有氮气的闸流管，将频率提高到15000~20000赫，是有很大的可能性的。

本书作者多年来所进行的工作表明，在反用换流器线路中，

利用电子管代替离子整流管，有很大的发展前途。

在往电子管栅极馈給矩形电压，并保持反用换流器线路的全部特点的条件下，电子管的工作状态变成与串联有电阻的离子整流管的工作状态相似，该电阻等于电子管在选定工作点上对直流的内电阻。当功率超过说明书中规定的额定功率时，电子管阳极电路的效率在这种情况下达到85~90%。在固定损耗电平同离子反用换流器的一样低时，反用换流器的总效率为70~80%。不論是对电热方面，或对超声波加工方面，在8000~100000赫的频率范围内，采用电子管反用换流器无疑是最有前途的。

本书討論頻率在100千赫范围内的反用换流器，对它们的工作进行了分析；同时介绍了一些試驗設備及工业設備。

本书第一、二章、第四章§20及第五章§21~24，由A. E. 斯魯霍茨基执笔；第三章、第四章§17~19及第五章§25~27，由A. C. 瓦西里也夫执笔。

书中所叙述的材料，在很大程度上是作者在B. П. 沃洛格金高頻电流科学研究所及列宁格勒B. И. 烏里揚諾夫（列宁）電工學院工作的成果。

目 录

引言	5
第一章 并联离子反用换流器的理論基础	7
§ 1 作用原理	7
§ 2 反用换流器电路中的电流有效值間的关系	11
§ 3 稳定工作状态时的主要关系	12
§ 4 反用换流器的工作状态	19
§ 5 电流和电压的有效值	25
§ 6 接有感应負載（振蕩迴路）的反用换流器的工作	31
§ 7 反用换流器在自激状态下的工作	39
第二章 具有并联电容器的反用换流器线路	45
§ 8 具有外整流电路的反用换流器	45
§ 9 具有內整流电路的反用换流器	51
§ 10 棚极电路的特点和起动綫路	58
§ 11 阳极高頻变压器和阴极扼流圈	61
第三章 并联离子反用换流器电路中过渡历程的研究	66
§ 12 研究整流电路中过渡历程的一般方法	66
§ 13 离子反用换流器中的过渡状态	71
§ 14 非周期性状态下过渡历程的分析	72
§ 15 反用换流器在振蕩状态下的过渡历程的分析	80
§ 16 关于选择工作状态方面的建議	91
第四章 串联反用换流器	93
§ 17 具有电阻負載的綫路	93
§ 18 接有振蕩迴路的串联反用换流器的工作	106
§ 19 串联反用换流器的多次推挽綫路	110
§ 20 串联和并联离子反用换流器的应用范围	112
第五章 电子反用换流器	114
§ 21 工作原理	114

07007

§ 22 反用換流器在自激状态下的工作及柵极电路的线路	120
§ 23 反用換流器的計算	130
§ 24 阳极及柵极电路的主要部件	135
§ 25 功率 250 千瓦、感应加热用的反用換流器	137
§ 26 超声波装置供电用的反用換流器	138
§ 27 电子反用換流器的調諧	145
附录	149
参考文献	153

10050

73.691
182.1
C.2

高頻离子和电子反用換流器

A.C.瓦西里也夫 著

A.E.斯魯霍茨基

傅炳烈、李广友譯

ZK53.0 /15



中國科學院出版社

1964

内 容 簡 介

本书介绍目前在工业上已获得广泛应用的两种反用换流器：
离子反用换流器和电子反用换流器。

离子反用换流器主要用在电热设备中，它可用作感应加热，
表面淬火等装置的电源；电子反用换流器可对频率超过 10000 赫
的超声波设备供电之用。这些反用换流器的效率可到 85~92%。远
远超过电动发电机和电子管振荡器的效率，所以它们在工业上的
应用是有很大的前途的。

书中说明了反用换流器的作用原理，分析了反用换流器在稳
定状态和过渡状态下的工作情况，并导出工程上适用的计算公式，
又列出许多线路、图线和图表，列举出工业上应用的几种反用换
流器的技术特性和结构数据；同时还叙述了调谐反用换流器的一
些方法，以供设计和运用时的参考。

本书可供科学工作者、工程技术人员和高等院校中相应专业的
师生参考之用。

ИОННЫЕ И ЭЛЕКТРОННЫЕ
ИНВЕРТОРЫ ВЫСОКОЙ ЧАСТОТЫ

А. С. Васильев, А. Е. Слухоцкий
ГОСЭНЕРГОИЗДАТ 1961

*
高頻离子和电子反用换流器

傅炳烈，李广友译

*
国防工业出版社出版

北京市书刊出版业营业登记证字第 074 号

国防工业出版社印刷厂印刷 新华书店北京发行所发行

850×1168.1/32 印数 413/16 1210 千字

1964年4月第一版 1964年4月第一次印刷 印数：0,001—3,700册

统一书号：15034·718 定价：(科八-1)1.00 元

目 录

引言	5
第一章 并联离子反用换流器的理論基础	7
§ 1 作用原理	7
§ 2 反用换流器电路中的电流有效值間的关系	11
§ 3 稳定工作状态时的主要关系	12
§ 4 反用换流器的工作状态	19
§ 5 电流和电压的有效值	25
§ 6 接有感应負載（振蕩迴路）的反用换流器的工作	31
§ 7 反用换流器在自激状态下的工作	39
第二章 具有并联电容器的反用换流器线路	45
§ 8 具有外整流电路的反用换流器	45
§ 9 具有內整流电路的反用换流器	51
§ 10 棚极电路的特点和起动綫路	58
§ 11 阳极高頻变压器和阴极扼流圈	61
第三章 并联离子反用换流器电路中过渡历程的研究	66
§ 12 研究整流电路中过渡历程的一般方法	66
§ 13 离子反用换流器中的过渡状态	71
§ 14 非周期性状态下过渡历程的分析	72
§ 15 反用换流器在振蕩状态下的过渡历程的分析	80
§ 16 关于选择工作状态方面的建議	91
第四章 串联反用换流器	93
§ 17 具有电阻負載的綫路	93
§ 18 接有振蕩迴路的串联反用换流器的工作	106
§ 19 串联反用换流器的多次推挽綫路	110
§ 20 串联和并联离子反用换流器的应用范围	112
第五章 电子反用换流器	114
§ 21 工作原理	114

07007

§ 22 反用換流器在自激状态下的工作及柵极电路的线路	120
§ 23 反用換流器的計算	130
§ 24 阳极及柵极电路的主要部件	135
§ 25 功率 250 千瓦、感应加热用的反用換流器	137
§ 26 超声波装置供电用的反用換流器	138
§ 27 电子反用換流器的調諧	145
附录	149
参考文献	153

FOOGO

引　　言

目前，金屬的感应加热及零件的超声波加工，已經在工业中获得了广泛的应用。因此，制造效率很高而使用上又相当簡便的設備，就成了急待解决的問題。

在感应加热設備中，当頻率为500~10000赫时，可使用电动发电机，当頻率为70000赫和更高时，可使用电子管振蕩器。

在上述的頻率范围内，电动发电机的效率为70~82%，而无載运转时的固定損耗电平为額定功率的10~12%。因此，在反复間歇工作状态及負載參量随時間改变(这多半是在感应加热設備中)的情况下，效率有时降低1/3到1/2。电动发电机的主要缺点是：頻率不能改变，必須要裝在专用底座上，同时，还会产生噪声。

計及灯絲电路的功率在內，电子管振蕩器的效率不超过60%。

加工零件的超声波設備，多半在頻率为10000~30000赫的范圍內工作。在这些設備中，現在几乎完全采用电子管振蕩器作为电源。

反用換流器線路，特別是并联反用換流器線路，在提高效率方面是有发展前途的。离子反用換流器的效率达到85~92%，由于固定損耗电平很低(約为3~4%)，所以效率与負載的关系很小。

当功率約为几百千瓦时，500赫以上的頻率在电热方面有最大的意义。只有在整流管中充以水銀，它才能在連續工作状态下获得这样大的功率，这便决定了这种装置的頻率上限約为2000~3000赫。今后，采用充有氮气的閘流管，将頻率提高到15000~20000赫，是有很大的可能性的。

本书作者多年来所进行的工作表明，在反用換流器線路中，

利用电子管代替离子整流管，有很大的发展前途。

在往电子管栅极馈給矩形电压，并保持反用换流器线路的全部特点的条件下，电子管的工作状态变成与串联有电阻的离子整流管的工作状态相似，该电阻等于电子管在选定工作点上对直流的内电阻。当功率超过说明书中规定的额定功率时，电子管阳极电路的效率在这种情况下达到85~90%。在固定损耗电平同离子反用换流器的一样低时，反用换流器的总效率为70~80%。不論是对电热方面，或对超声波加工方面，在8000~100000赫的频率范围内，采用电子管反用换流器无疑是最有前途的。

本书討論頻率在100千赫范围内的反用换流器，对它们的工作进行了分析；同时介绍了一些試驗設備及工业設備。

本书第一、二章、第四章§20及第五章§21~24，由A. E. 斯魯霍茨基执笔；第三章、第四章§17~19及第五章§25~27，由A. C. 瓦西里也夫执笔。

书中所叙述的材料，在很大程度上是作者在B. П. 沃洛格金高頻电流科学研究所及列宁格勒B. И. 烏里揚諾夫（列宁）電工學院工作的成果。

第一章

并联离子反用換流器的理論基础

§ 1 作用原理

利用可控气体放电整流管变交流为直流是一个可逆过程。

大家知道，离子整流管栅极的可控性是有限度的，因为栅极可以开放整流管，此后，填充物的正离子中和栅极的负电位，不論怎样改变栅极上的电压都不能使放电停止。流过整流管的电流只取决于线路的參量。取消阳极电压以后，放电停止，填充物开始消电离，栅极就恢复它的控制性能。周期性地取消阳极电压，并使栅极在这一瞬间具有负电压，就可控制放电时间，即可控制流过整流管的电流的頻率。

图1列出反用換流器的线路，即是变直流为交流的变换器线路，它的作用原理已被实际装置所采用。

首先研究具有純电阻負載的他激变换器这一最简单情况，在这种情况下，整流管栅极的电压是由外电源供給的。根据同样理由，設变压器 AT 次級繞組的匝数 w_2 为初級，繞組匝数的一半，即 $w_2 = \frac{1}{2} w_{1o}$

交变电压由变压器 CT 輸入到整流管 1 和 2 (图 1) 的栅极上。如果在一瞬間整流管 1 的栅极上加有正电压，那末，整流管 1 中就发生放电，同时有电流流过。

半繞組 1 中的电流冲动，就在变压器初級和次級繞組中感应出电压。于是次級繞組中流过电流 i_2 ，它的方向如箭头所示，其大小取决于負載电阻 r_2 。二次电流所产生的安匝，在任何时刻均为半繞組 1 的安匝所平衡。

其方向如箭头所示的电流 i_2 流經接在初級繞組两端的电容

器 C_1 ，因此，电容器的右极板充有正电，左极板充有负电。很明显，通过整个初级绕组的电流 i_c 所产生的安匝，被反向流过半绕组 1 的电流 $2i_c$ 所产生的匝所平衡。这时，电容电流所产生的总安匝，在任何时刻均等于零，它不会在次级绕组中发生变换。初级绕组对电容器 C_1 来说是一个升压自耦变压器，其变压系数为 $1:2$ 。半绕组 1 中的电流等于

$$i_1 = i_r + 2i_c - i_c = i_r + i_c = i_L - i_c,$$

式中 i_L ——馈电线中的电流（流经扼流圈的电流）；

i_c ——流经电容器的电流。

由图 1 可以明显看出，馈电线中和流经整流管的电流瞬时值等于

$$i_L = i_a = i_r + 2i_{c0}$$

若在整流管 2 的栅极上加以正电压时，整流管便开始导电。这时，除整流管 2 上有很小的电压降以外，在整流管 1 的阴极上出现电容器右极板的正电位，因而，加到整流管 1 阳极上的电压，对阴极是负的。

在这一瞬间，电容器经整流管 1 和 2 短路。电容器放电电流的冲动，增强了开始流过整流管 2 的电流，但这冲动与整流管 1 中的电流相反，就使整流管 1 中的放电很快地停止。这时，电流的转换过程也就结束。整流管 1 的栅极应有足够的负电压，以免

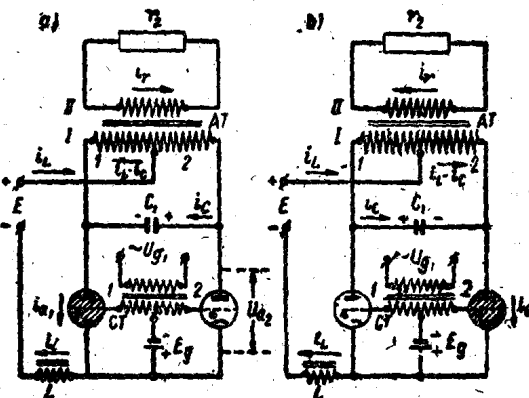


图 1 原边有电容器的并联反用换流器线路：
a — 第一半周期； b — 第二半周期。

在电容器的极性改变时发生放电（图 1.6）。以后把电容器 C_1 称为换向电容器。

换向电容器重新充电之后，如果输入到整流管 1 棚极上的电压是正的话，那末，换流过程就依相反次序重复进行。

因此，依次流经整流管 1 和 2 的电流，应当改变变压器初级绕组安匝的方向，从而在变压器的次级绕组上感应出交变电压。可是由图 1 和 2 可以看出，在整个周期内，有电流 $i_1 = i_r + i_c = i_L - i_c$ 在每个半绕组中流过（各为 i_{11} 和 i_{12} ），其方向不变，而初级绕组的交变安匝只由电流 i_1 的分量 i_r 所产生，此分量在半周期内流过每个半绕组（图 2）。

扼流圈 L 承受的电压是直流电源电压 E 和电容器电压 u_c 之差。扼流圈的电感越大，电源供给反用换流器的电流的波纹度也就越小。

在任何瞬间，都应满足恒等式

$$u_L + u_c = E - u_B$$

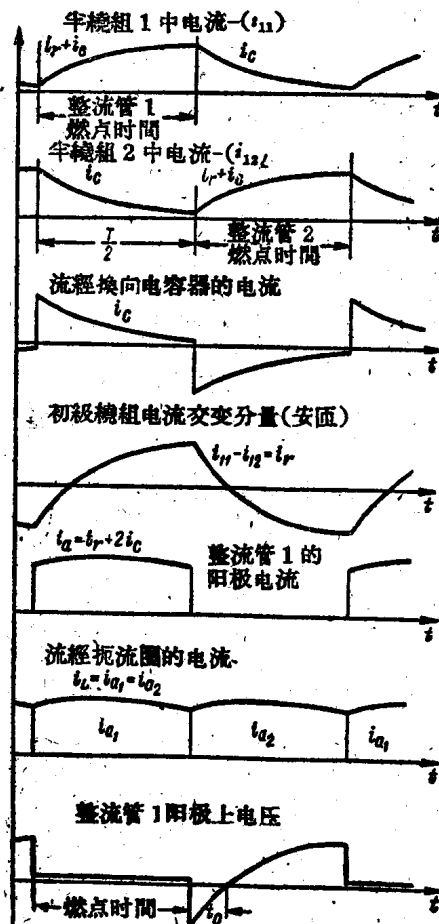


图 2 图 1 线路中的电流与电压。

式中 E ——电源电压;
 u_L ——扼流圈上的电压;
 u_C ——电容器上的电压;
 u_B ——整流管上的电压。

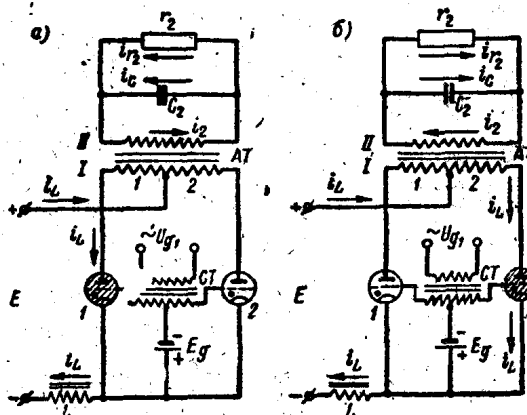


图 3 副边有电容器的并联反用换流器线路:
 a — 第一半周期; b — 第二半周期。

图 3 所示的线路，是反用换流器线路的另一种可能方案，在这里，换向电容器接在变压器的副边与负载并联。在上述的匝数比下，次级绕组中添加一个电流 $2i_C$ 。在这种情况下，换向电容器的电容等于

$$C_2 = 4C_1,$$

式中 C_1 ——图 1 线路中电容的相应值。

在每个初级半绕组中只在半周期内才有电流流过，这电流的瞬时值为

$$i_1 = i_2 = i_s + 2i_C = i_a = i_{L0}$$

各电流曲线示于图 4。

在图 3 线路中，初级绕组对电容器的工作就像一般的变压器绕组一样，因此初级绕组的负载比图 1 线路中的要大。由此可见，图 1 线路中两个变压器绕组的负载比图 3 线路中的要小，这